

ЛЕНИНГРАДСКИЙ ОРДЕНА ДЛИЧА КОРАБЛестРОИТЕЛЬСКОГО ИНСТИТУТА

А. С. АЛЕКСАНДРОВ

РАСЧЕТНОЕ ПРОЕКТИРОВАНИЕ СИСТЕМЫ КОНФОРСА СЛЕД.,

СТАЛ НА ПОДВОДНЫХ ПРИЧАСТИЯХ

Учебное пособие по курсовому  
и дипломному проектированию

Х 5558

БИБЛИОТЕКА  
Деп. Кораблестроительства.  
МОСКОВСКИЙ

В настоящем пособии излагаются основные особенности расчета прочности судов на подводных крыльях (СПК). Оно предназначается как руководство для выполнения курсового проекта для студентов Ленинградского кораблестроительного института по разделу курса строительной механики первомод. "Прочность судов с динамическими принципами поддержания" и может быть также использовано при выполнении проектирования СПК.

При написании пособия были использованы имеющиеся теоретические и экспериментальные исследования, а также Баллистико-дизайнерский комитет по проблемам гидроэнергетики и постройки морских судов, № 4, часть III "Конструкция и прочность судов на подводных крыльях", 1973 г.

**ДОКУМЕНТ**  
Александр Гаврилович

Расчетное проектирование скелетной коробки судна,  
суда на подводных крыльях

Учебное пособие по курсовому  
и дипломному проектированию

© Изд.ЛНИИ  
1978

Отв.редактор зам.техн.рук., доц. В.И.Курманов  
Лит.редактор А.Н.Беззубова

Тип.ЛНИИ. Зак.№178. Тар.200. Уч.-вид.х.3.1. Пет.х.3.  
Н-1981. 28.12.78. Цена 23 коп.

### Введение

В настоящем методическом пособии дана общая схема расчета прочности судов на подводных крыльях (СПК).

Выполнение при курсовом и дипломном проектировании расчета прочности СПК состоит из расчета:

- 1), общей прочности;
- 2), местной прочности;
- 3), прочности гидравлических устройств (ГУ).

Эти расчеты должны показать, что при действии расчетных нагрузок на надобные нормальные и кратковременные напряжения в скелете не превосходят допускаемых значений при заданной форме корпуса судна.

В пособии указаны правила в настоящем время норм допускаемых напряжений.

Предназначение этих расчетных зависимостей относится лишь к СПК с двумя насущими гидроэнергетическими крыльями и никакими следующими соотношениями основных характеристики:

$$10 < \frac{L}{D} < 20, \quad \frac{L}{S} > 4, \quad F_{tr} = \frac{\sigma}{\sqrt{3Vr}} < 4; \quad \frac{J}{L^2 S} > 3 \cdot 10^{-3}$$

- где:   
 L - длина судна между перпендикулярами, м;  
 S - площадь судна, м<sup>2</sup>;  
 D - ширина борта, м;  
 $\sigma$  - скорость движения судна на таком ходу, м/с;  
 V - объемное водоизмещение судна, м<sup>3</sup>;  
 J - ускорение силы тяжести, м/ $s^2$ ;  
 r - момент инерции поперечного сечения на изогибе относительно нейтральной оси,  $m^2 \cdot m^2$ .

## Г л а з а I

### РАСЧЕТ ОЧЕЙ ПРОЧНОСТИ

Общая предельная прочность проверяется на действие максимальных возможных усилий, возникающих при эксплуатации судна в наиболее неблагоприятных режимах.

Для судов на подводных крыльях рассматриваются следующие режимы:

- a). ход судна в водонизмещении режиме в выход на крылья в углах расчетного положения при скорости  $U < U_{\text{снр}}$  (здесь  $U$  – расчетная скорость на тихой волне;  $U_{\text{снр}}$  – скорость выхода судна на косое крыло);

- b). ход судна на крыльях на расчетном положении при скорости

$$U > U_{\text{снр}}$$

За расчетное принимается волнение с высотой волны 35-ной обеспеченности ( $\frac{1}{4}$  ЗВ).

При движении судна в водонизмещении режим высота волны 35-ной обеспеченности равна

$$A_{35} \leq 3,5 \text{ м;}$$

при движении судна на крыльях

$$A_{35} \leq 2,0 \text{ м.}$$

- §1. Определение расчетных изгибающих моментов в перерезывающих сеч. при плавании СНК в водонизмещении режиме

При плавании в водонизмещении режиме наибольшие величины изгибающих моментов в перерезывающих сеч. возникают при ударе корпуса о волновую поверхность. При этом необходимо рассмотреть следующие случаи:

- a) удар носовой оконечности о волну, вызванный проходом корпуса;
- b) удар средней части корпуса о волну, вызванный перегоном корпуса.

Как в случае прохода судна, так и в случае перегона узлов, действующими на подводные крылья, преобразуются.

Величина усилий на изгибающие моменты корпуса судна в волне в рассматриваемых случаях зависит от многих факторов. Основными из них являются: наименьшая вертикальная начальная кривизна судна, начальная скорость волнения и т.д.

Было проведено приближенное исследование, определявшее эти усилия, при получении которых были использованы результаты измерений СНК в имеющихся теоретических изолированных.

Предложенный способ определения ненесущих усилий основан на данных по перегруженям.

Под перегрузкой в сечении понимают отношение вертикального ускорения в сечении судна, вызванного действием усилий, при ударе, к ускорению силы тяжести.

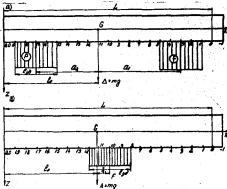


Рис. I. Система приложения усилий при плавании в водонизмещении режиме

Определение перегрузок, возникающих при ударе, вызванных прогибом корпуса судна

В этом случае предполагают, что линии усилий приложены к корпусу судна так, как показано на рис. I, а; корпус судна считается абсолютно эластичным.

Действующие на корпус судна силы и моменты усилия  $F$  выражают в теоретических коэффициентах разрывных усилий  $P$ . На основании экспериментальных данных и опыта эксплуатации СНК принимают, что

$$\beta = \frac{P}{E}$$

Признается также, что усилия  $P$  и  $F$  приложены на 17-м и 3-м теоретических колесах в разном распределении по длине  $b_{3,17} = 484$ .

На дифференциальных уравнениях движения корпуса, как абсолютно твердого тела (см. рис. I, а)

$$\frac{d}{dt} \ddot{\delta}_a = d - (\beta + F) = d - 1,5F,$$

$$\frac{d}{dt} P_a^x \ddot{\psi} = F_{a_1} - F_{a_9} = F(4825L - 1,5\delta_0)$$

следует, что ускорение  $\ddot{\delta}_a$  в перегрузки  $n_2$ , в каждом сечении корпуса будут разны

$$\ddot{\delta}_a = \ddot{\delta}_{a_1} - (n_2 - \delta_0) \ddot{\psi} = \dot{\psi} \left[ d - \frac{F}{E} \left( 4,5 + \frac{n_2 - \delta_0}{P^2} (4825L - 1,5\delta_0) \right) \right],$$

$$n_2 = d - \frac{\dot{\psi}}{P} = \frac{P}{E} \left[ 4,5 + \frac{n_2 - \delta_0}{P^2} (4825L - 1,5\delta_0) \right];$$

тогда

$d$  — мертвое водоизмещение судна;

$P_a$  — радиус изгиба массы судна относительно поперечной оси, проходящей через его центр тяжести;

$\ddot{\delta}_a$  — ускорение в центре тяжести судна;

$\dot{\psi}$  — угловое (поперечное) перемещение корпуса. Введя в последнюю выражение  $\dot{\psi} = \delta_0$ , получим перегру-

жу в центре тяжести судна при прогибе

$$n_2^{per} = 1,5 \frac{P}{E}.$$

Определение перегрузок, возникающих при ударе, вызванных перегибом корпуса судна

Схема приложения загружений усилий в этом случае принимается такой, какая показана на рис. I, б. Предполагается, что центр удара совпадает с midpointом изгиба корпуса, усилие разрыва распределено по длине  $b_{3,17} = 484$ .

Рассматриваем корпус как абсолютно твердое тело, нетрудно получить выражение для ускорения в его любом сечении в величину перегрузки в центре тяжести:

$$\ddot{\delta} = \dot{\psi} - \frac{dP}{E} \left[ d - \frac{n_2 - \delta_0}{P^2} \left( \frac{L}{E} - \delta_0 \right) \right], \quad n_2^{per} = \frac{P}{E}.$$

Используя зависимость, определяющую расчетный изгибющий момент (момент на маделе) при действии усилия  $F = 1$ , найденную для характеристического СНК, можно получить следующее соотношение между величиной перегрузки и расчетным изгибющим моментом:

при прогибе корпуса

$$M_p^{per} = - \frac{dL}{2E} n_2^{per}; \quad (I.1)$$

при перегибе корпуса

$$M_p^{per} = \frac{dL}{2E} n_2^{per}. \quad (I.2)$$

Подставив в формулы (I.1), (I.2) коэффициенты  $n_2$ , из сопоставления экспериментальных данных, можно считать зависимость от числа Фруда и величины величины. Значения этих коэффициентов могут быть найдены по кривым рис. 2 и 3.

Что касается расчетных величин перегрузок сил, действующих в сечениях корпуса, то их приближенные значения могут быть получены по формулам:

при прогоне

$$\frac{Q_{\text{п}}}{P} = \frac{4 \cdot \frac{G}{P} \cdot \frac{L^2}{L}}{L} ; \quad (1.3)$$

при перегоне

$$\frac{Q_{\text{п}}}{P} = \frac{4 \cdot \frac{G}{P} \cdot \frac{L^2}{L}}{L} . \quad (1.4)$$

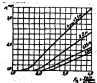
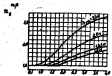


Рис.2. Кривые изменения коэффициента перегрузки при перегоне



$$\Gamma_{\text{пр}} = \frac{V_{\text{сп}}}{\sqrt{g \cdot L}}$$

Рис.3. Кривые изменения коэффициента перегрузки при прогоне

Для определения величины изгибающих моментов в перегоненных сал в различных сечениях по длине судна можно использовать кривые рис.4.

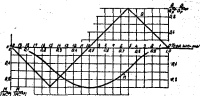


Рис.4. Кривые изменения изгибающих моментов в перегоненных салах по длине судна

#### 4.2. Определение перегрузок, изгибающих моментов и перегоненных сал в режиме движения судна на кривых

При движении СНК на волнении в криволинейном режиме на корпус судна будут действовать усилия, возникающие вследствие обтекания потоком жидкости несущих элементов криволинейного устройства (КУ) в зависимости от общей прочности судна.

При расчете общей прочности эти усилия считаются сосредоточенными в приложении в сечениях установки криволинейных устройств.

Безопасные удары корпуса судна о надводность в этом случае не учитываются, поскольку надводность СНК достаточно большая.

Введем дополнительные обозначения:

$P_{\text{к}}$ ,  $P_{\text{н}}$  — разнонаправленные гидродинамические силы, возникающие на носовом и кормовом криволинейных устройствах соответственно;

$L_{\text{кп}} = z_{\text{к}} - z_{\text{н}}$  — расстояние между криволинейными устройствами;

$z_{\text{к}} + z_{\text{н}}$  — отстояние носового и кормового криволинейных устройств от кормового перегондуктура.

Тогда во системе дифференциальных уравнений движения судна (рис.5)

$$\frac{\partial}{\partial t} \tilde{z}_d = -d \cdot P_d + P_{n,T}$$

$$\frac{\partial}{\partial t} P_d \tilde{v} = P_d (z_n - \ell_o) - P_n (\ell_o - z_n)$$

можно найти

$$P_d = P_{d,0,T} \left[ 1 + \frac{i}{g} (\tilde{z}_d + \frac{P_d^f \tilde{v}}{z_n - z_o}) \right], \quad (2.1)$$

$$P_n = P_{n,0,T} \left[ 1 + \frac{i}{g} (\tilde{z}_d - \frac{P_d^f \tilde{v}}{z_n - \ell_o}) \right], \quad (2.2)$$

$$\text{так} \quad P_{d,0,T} = \frac{d}{z_n - \ell_o}, \quad P_{n,0,T} = \frac{d}{z_n - \ell_o} \quad - (2.3)$$

стационарные подъемные силы, действующие на водонапорные края при ходе на такой волне.



Рис.5. Схема приложенных усилий при плавании по волнистым

формулы (2.1) и (2.2) дают возможность вычислить зависимые величины при известных параметрах волны и вертикальной качки.

При этом

$$z_d = a_{n,T} \cos \theta t,$$

$$v = v_0 + v_{max} \cos(\theta t - \delta)$$

вместо этих величин соответствующих производных в формулах (2.1) и (2.2), можно получить

$$\left. \begin{aligned} P_d &= P_{d,0,T} \left[ 1 - \frac{P_d^f}{g} a_{n,T} \sin(\theta t + \delta_d) \right], \\ P_n &= P_{n,0,T} \left[ 1 - \frac{P_d^f}{g} P_d \sin(\theta t + \delta_d) \right]; \end{aligned} \right\} \quad (2.4)$$

где

здесь введены обозначения:

$t$  – время;

$a_{n,T}$  – амплитуда вертикальной качки;

$v_0$  – начальный угол дифферента;

$v_{max}$  – амплитуда креновой качки;

$\delta$  – фазовый угол сдвига между вертикальной и креновой качкой;

$\delta_d$  – вспомогательный фазовый угол;

$\omega = \frac{2\pi}{T}$  – относительная скорость судна;

$c = \sqrt{g/\rho}$  – горизонтальная скорость волны, м/с;

$\lambda_w = \sqrt{\frac{g}{\rho}} \left( \frac{h_n}{h_d} + 1 \right)^{1/2}$  – длина волны, м;

$h_n$  – высота волны 5%-й обеспеченности;

$$P_d = \left[ a_{n,T}^2 + d a_{n,T} \frac{P_d^f v_{max}}{z_n - z_o} \cos \delta + \left( \frac{P_d^f v_{max}}{z_n - z_o} \right)^2 \right]^{1/2};$$

$$P_n = \left[ a_{n,T}^2 - d a_{n,T} \frac{P_d^f v_{max}}{z_n - z_o} \cos \delta + \left( \frac{P_d^f v_{max}}{z_n - z_o} \right)^2 \right]^{1/2};$$

$$\sin \delta_d = \frac{1}{P_d} \left[ a_{n,T} + \frac{P_d^f v_{max}}{z_n - z_o} \cos \delta \right];$$

$$\sin \delta_2 = \frac{z}{\rho_g} \left[ a_{n,r} - \frac{\rho_g^2 V_{max}}{\rho_g - \rho_e} \cos \delta \right],$$

$$\cos \delta_2 = \frac{z}{\rho_g} \frac{\rho_g^2 V_{max}}{\rho_g - \rho_e} \sin \delta;$$

$$\cos \delta_3 = \frac{z}{\rho_g} \frac{\rho_g^2 V_{max}}{\rho_g - \rho_e} \sin \delta.$$

Из формулы (2.4) следует, что максимальные значения ускорений равны

$$P_N = P_{N,r,r} \left( z + \frac{\sigma}{g} \delta_{1max} \right),$$

$$P_R = P_{R,r,r} \left( z + \frac{\sigma}{g} \delta_{2max} \right),$$

где  $\delta_{1max} = a_{n,r} + \frac{\rho_g^2 V_{max}}{\rho_g - \rho_e}$ ;  $\delta_{2max} = a_{n,r} - \frac{\rho_g^2 V_{max}}{\rho_g - \rho_e}$ .

Используя предложенную зависимость для амплитуды качки в полученные выше выражения, можно вычислить ускорение  $A$  в центре тяжести судна для разных значений зал.

$$A = \frac{a \alpha \rho_g^2 \omega^2 a_e}{\lambda_g^2} \left[ z + \frac{\sigma}{\rho_g} (h_N + h_R) \right]$$

или, практическое значение, что

$$A = a_e + \sigma, \quad a_e = 2,65 \sqrt{\rho_g} = \frac{H}{sec},$$

получим

$$A \geq 2,65 \alpha \frac{a \rho_g}{\lambda_g^2} \left( z + \frac{\sigma}{\sqrt{\rho_g}} \right) \left[ z + \frac{\sigma}{\rho_g} (h_N + h_R) \right].$$

Поскольку наибольшее значение ускорения будет при  $\rho_g = h_{np}$ , то перегрузка в центре тяжести  $P_g$  определяется

$$\text{известной формулой} \quad P_g = 1 + \frac{\sigma}{g} = 1 + \frac{a \rho_g}{\lambda_g^2} \left( z + \frac{\sigma}{\sqrt{\rho_g}} (h_N + h_R) \right), \quad (2.5)$$

где  $h_N, h_R$  — погружение носового и кормового краев;

$\sigma$  — скорость хода, м/с;

$h_{np}$  — расстояние между краевыми утюгователями, м.

Величины подъемных сил, возникающие на краевых утюгователях при движении СИК на волнении, могут быть выражены по формулам

$$P_N = P_{N,r,r} \eta_2 + P_R = P_{R,r,r} \eta_2. \quad (2.6)$$

Величины растягивающих изгибывающих моментов и перерезывающих сил, действующие в произвольном сечении судна, также могут быть определены с помощью коэффициента перегрузки  $\eta_2$  по формулам

$$Q_p = \eta_2 Q_{p,r}, \quad (2.7)$$

$$M_p^{ext} = \eta_2 M_{p,r}, \quad (2.8)$$

где  $Q_{p,r} = \int_{-L}^L m(z) g dz - \left| P_{N,r,r} \right| - \left| P_{R,r,r} \right|$ ;  $(2.9)$

$$M_{p,r} = \int_{-L}^L \int_{-L}^L m(z) g(dz) - \left| P_{N,r,r}(z-z_n) \right| - \left| P_{R,r,r}(z-z_n) \right|, \quad (2.10)$$

перерезывающие силы в изгибывающих моментах в произвольном сечении судна при движении на такой волне;

$m(z)$  — интенсивность распределенных масс судна по длине.

### § 3. Проверка общей продольной прочности

Проверка общей продольной прочности должна производиться при полном водозмещении судна не менее чем в трех сечениях по длине: одно сечение, где действуют изгибывающий момент; остальные в сечениях, где имеется резкая смена сопротивления продольным сдвигам, в районах больших изгиев.

Нормальную напряженность от общего изгиба в крайних бортах

эквивалентного бруса линии определяются по формулам

$$\left. \begin{aligned} \sigma_y &= \sigma_{y_0} \frac{x}{x_0} \text{ и } \\ \sigma_x &= \sigma_{x_0} \frac{x}{x_0} \text{ и } \end{aligned} \right\} \quad (3.1)$$

где  $\sigma_y, \sigma_x$  - расчетные напряжения в верхней (подстрижке) и нижней (ниже) фибрах эквивалентного бруса соответственно, кгс/см<sup>2</sup>;

- расчетный изгибающий момент в рассматриваемом сечении;

$x_0, x$  - моменты сопротивления для верхней и нижней фибр эквивалентного бруса соответственно, см<sup>3</sup>. Если пластина теряет устойчивость, то при вычислении элементов эквивалентного бруса ( $x_0, x_0, M_y$ ) часть ее высоты, равная 0,25  $A_h$  ( $A$  - площадь пластины,  $A_h$  - короткая сторона), не учитывается, а оставшаяся часть входит в формулы эквивалентного бруса с коэффициентом  $\varphi = \frac{\sigma_0}{\sigma_{0,05}}$  ( $\sigma_0$  - первое напряжение,  $\sigma_{0,05}$  - напряжение в изогнутых сечениях);

$\sigma_{y_0} = 0,85, \sigma_{x_0} = 1,4$  - коэффициенты, учитывающие степень участия подстрижки в объеме изгиба коробки;

- подстрижка отсутствует, то  $\sigma_{y_0} = \sigma_{x_0} = 1$ .

Касательные напряжения в производящей точке по высоте сечения линии определяются по формуле

$$\tau = \frac{\sigma_y s_y}{x_0} \text{ и } \quad (3.2)$$

где  $\tau$  - касательные напряжения, кгс/см<sup>2</sup>;

$\sigma_y$  - расчетные изгибающие усилия, тс;

$s_y$  - момент изгиба производящего сечения относительно центральной оси, см<sup>3</sup>/м<sup>2</sup>;

$x_0$  - статический момент части пластины расчетного изогнутого сечения, лежащий выше рассматриваемой точки, относительно центральной оси, см<sup>3</sup>/м;

$s$  - суммарная площадь сечения в продольных перегородках в точке, где определяются касательные напряжения, см.

Вычисление по формулам (3.1) и (3.2) напряжений должны превосходить допускаемый величину, составляющей часть от опасных напряжений. В качестве опасных напряжений для конструкций, выполненных из алюминиевых сплавов, берутся напряжения, равные  $\sigma_y = 0,9 \sigma_p$ , а для остальных  $\sigma_y = \sigma_p$  ( $\sigma_p$  - предел текучести).

Для нормальных напряжений в сечениях, участвующих в объеме изгиба, допускаемые напряжения равны

$$[\sigma] = 0,5 \sigma_p = 0,45 \sigma_p.$$

Для изогнутых напряжений в этих же сечениях

$$[\tau] = 0,3 \sigma_p = 0,27 \sigma_p.$$

Помимо указанной проверки прочности коробки по допускаемым напряжениям, должна быть произведена проверка прочности ее предельных моментов.

Предельный момент определяется формулой

$$\frac{M}{M_{\text{пред}}} = \sigma_p \cdot \eta,$$

где  $M$  - величина опасных напряжений, кгс/см<sup>2</sup>, равна  $\sigma_y = 0,9 \sigma_p$  при растяжении,  $\sigma_y = \sigma_p$  при сжатии;

$M_{\text{пред}}$  - момент сопротивления изогнутого сечения, исключая из предположения, что в пределах рабочих эквивалентного бруса действуют напряжения, равные опасным.

При этом должно выполняться условие

$$\frac{M}{M_{\text{пред}}} \geq 1,5,$$

где  $M_{\text{пред}}$  - расчетный изгибающий момент при прогибе для перегородок, действующий в расчетном сечении.

#### § 4. Пример расчета общей прочности

Приведем пример определения расчетных изгибающих момен-

то в перекинутых сал., а также нормальных к кессельным людкам в корпусе судна, наименее сечение которого показано на рис.6.

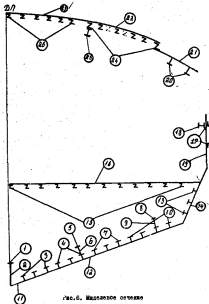


Рис.6. Наименование сечений

Для рассматриваемого судна известны следующие исходные данные:  
 водоизмещение  $A = 56,2 \text{ т}$ ;  
 длина между перекидными палами  $L = 30 \text{ м}$ ;  
 длина гребартия  $L_g = 33,0 \text{ м}$ ;  
 отстояние ЦГ от кормового перекидника  $Z_g = 13,3 \text{ м}$ ;  
 отстояние кессового ЦГ от кормового перекидника  $Z_k = 23,9 \text{ м}$ ;  
 отстояние кормового ЦГ от кормового перекидника  $Z_e = 2,53 \text{ м}$ ;  
 расстояние между ЦГ  $A_{ZG} = 21,37 \text{ м}$ ;  
 погружение кессового ЦГ при движении судна на краях на теплой воде  $\delta_k = 1,62 \text{ м}$ ;  
 погружение кормового ЦГ при движении судна на краях на теплой воде  $\delta_e = 0,50 \text{ м}$ ;  
 расчетная высота волны при движении в водозатопленном режиме  $\delta_p = \delta_{ZG} = 3,8 \text{ м}$ ;  
 расчетная высота волны при ходе на краях  $\delta_p = \delta_e = 2,0 \text{ м}$ ;  
 скорость выхода на кессовое крыло  $V_{out,k} = 10 \text{ м/с}$ ;  
 скорость хода в узловых положениях  $V = 15,5 \text{ м/с}$ ;  
 распределение веса по длине судна (по теоретическим эвидам; табл.1).

таблица 1

Теорети- ческие от- седы	Вес $P_{t,p}$ , тн	$P_{d,cr}$ , $P_{d,at}$ , тн	Теорети- ческие изги- бо- го- сти	$Z_d$ , м	Поло- жение центра веса	$Z \times$ $P_{d,cr}$ , $P_{d,at}$ , тн	$Z \times$ $P_{t,p}$ , тн	$M_p = M_d$ , тн·м
-2-1	0,14	-	-2	0	0	0	0	0
-1-0	0,61	-	-1	0,14	0,14	0,1	0,37	0,34
0-1	1,15	-	0	0,76	1,03	0,76	1,81	1,83
1-2	1,44	-	1	1,9	3,68	2,76	4,57	5,66
2-3	1,59	-	2	3,34	6,92	6,7	8,03	10,2
3-4	2,6	-12,3	3	4,93	17,19	12,9	II,86	31,1
4-5	5,44	-15,1	4	4,57	17,63	12,3	-II,0	32,0
5-6	2,45	-	5	-25,23-2,17	-1,63	-35,7	-3,94	
6-7	1,81	-	6	-12,7	30,18-22,6	-30,8	-64,5	

Продолжение табл. I

Темпо- ровое число от среды	Вес т.з.	$R_{\text{п.ср.}}$ т.з.	Теорети- ческие коэффици- енты группы	Параметр $\alpha$	$Q_p = \frac{M_p}{R_{\text{п.ср.}}}$	
					т.з.	т.з.
7-8	1,84	-	7	-10,97	-53,92	-40,5
8-9	1,84	-	8	-9,13	-74,03	-55,8
9-10	1,78	-	9	-7,29	-90,45	-60,78
10-11	1,45	-	10	-5,51	-103,20	-77,3
11-12	1,95	-	11	-4,06	-112,82	-84,5
12-13	5,67	-	12	-2,21	-118,99	-69,3
13-14	4,74	-	13	3,56	-117,54	-68,2
14-15	2,74	-	14	8,3	-106,56	-79,5
15-16	1,6	-	15	11,04	-96,34	-64,7
16-17	2,3	-	16	16,44	-62,66	-47,0
17-18	2,6	-5,2	17	14,14	-35,08	-25,8
18-19	5,23	-22,6	18	12,34	-7,8	-6,85
19-20	5,03	-	19	-6,03	4,54	3,4
				20	0	-0,49
					0	0
					-	-

I. Определение расчетных загребущих моментов  
и перерезывающих сил в однокомпонентном режиме

Расчетные значения загребущих моментов равны

$$\frac{M_{\text{п.ср.}}^{\text{п.з.}}}{R} = \frac{44}{36} R^2 \quad [ \text{см. (I.1)} ]$$

$$\frac{M_{\text{п.ср.}}^{\text{пер.}}}{R} = \frac{46}{36} R^2 \quad [ \text{см. (I.2)} ].$$

Для определения коэффициентов  $K_1^{\text{п.з.}}$  и  $K_1^{\text{пер.}}$  воспользуемся приведенными в З.3.

Вычислим

$$K_1^{\text{п.з.}} = \frac{V_{\text{п.з.}}}{V_3 \sqrt{r}} = \frac{50}{[59 \sqrt{56,7}]} = 1,62.$$

По ходам рас.2 и З для  $M_{\text{п.з.}}^{\text{п.з.}} = 3,51$ ,  $R_{\text{п.з.}} = 1,62$  имеем  $R_{\text{п.з.}}^{\text{пер.}} = 1,6$ ;  $N_1^{\text{пер.}} = 1,1$ .

Следовательно, расчетные значения загребущих моментов равны

$$\frac{M_{\text{п.ср.}}^{\text{п.з.}}}{R} = \frac{44 \cdot 50}{36} = 62,2 \text{ т.з.}, \quad (4.1)$$

$$\frac{M_{\text{п.ср.}}^{\text{пер.}}}{R} = \frac{46 \cdot 50}{36} = 64,4 \text{ т.з.}.$$

Приложение усилий судна (исходные данные) (см. (I.1)).

$$\left. \begin{aligned} Q_p^{\text{п.з.}} &= \frac{4 \cdot 3 \cdot \frac{R^2}{L}}{A} = \frac{4 \cdot 46,4}{30} = 30,4 \text{ т.}, \\ Q_p^{\text{пер.}} &= \frac{4 \cdot 3 \cdot \frac{R^2}{L}}{A} = \frac{4 \cdot 64,4}{30} = 80,7 \text{ т.}, \end{aligned} \right\} \quad (4.2)$$

Как следует из рис.4, загребущий момент при выходе в перегоне судна действует в медленном сечении, а перерезывающие силы — в сечениях, совпадающих с 5-м и 16-м темпопротяжностями палубоголовки.

## 2. Определение расчетных загребущих моментов и перерезывающих сил при движении судна на ходу

Загребущие моменты и перерезывающие силы определяются по формулам (2.7) и (2.8):

$$M_{\text{п.ср.}}^{\text{п.з.}} = n_2 M_{\text{п.з.}}, \quad Q_p^{\text{п.з.}} = n_2 Q_{\text{п.з.}},$$

где  $n_2 = \int_{x_0}^{x_1} m(x) g dx - \int_{x_0}^{x_1} P_{\text{п.ср.}} = \left[ \begin{array}{l} P_{\text{п.ср.}} \\ \int_{x_0}^{x_1} m(x) g dx \end{array} \right] -$  перерезывающие силы при ходе судна по ходу на таком воде [ см. (2.9) ].

$M_{\text{п.ср.}}^{\text{пер.}} = \int_{x_0}^{x_1} m(x) g dx - \left[ P_{\text{п.ср.}}(x-x_0) - \int_{x_0}^{x_1} P_{\text{п.ср.}}(x-x_0) \right] -$  загребущий момент при ходе судна по ходу на таком воде [ см. (2.10) ].

Распределение веса по длине судна, в таком выполняющем перерезывающие силы в загребущих моментах на таком воде и за расчетные значениях правлено в табл. I. При этом предполагаем, что

$$\rho_{\text{п.ср.}} = \frac{c}{E_0 \cdot E_0} = \frac{66,2}{[83,9 \cdot 43,2]} = 22,4 \text{ т.}, \quad [ \text{см. (2.9)} ]$$

$$P_{\text{п.ср.}} = d \cdot \rho_{\text{п.ср.}} = 50 t - 524 = 47,6 \text{ т.};$$

$$n_2 = c \cdot \frac{E_0}{E_0} \left( 1 + \frac{M_{\text{п.ср.}}}{M_{\text{п.з.}}} \right) \left[ 1 + \frac{R}{L} (A_{\text{п.з.}} + A_{\text{п.р.}}) \right] =$$

$$-1 + \frac{0.314}{22.47} \left( 1 + \frac{68 \cdot 15.5}{\sqrt{22.47}} \right) \left[ 1 + \frac{3.14}{42.39} (2.68 + 0.5) \right] = 2.245. \quad [\text{см. (2.5)}]$$

В табл. I сосредоточенные усилия на якорном и тормозном кулачках  $P_{k,cr} = 28.4$ ,  $P_{t,cr} = 27.8$  то заменены распределенной нагрузкой, действующей в соответствующих теоретических плоскостях. Величина нагрузки в каждой плоскости определяется так, что распространяющаяся от нее нагрузка отходит от нормального переключения на расстояния  $\sigma_k = 23.2$  м и  $\sigma_t = 2.63$  м.

### 3. Определение действующих напряжений

Для определения напряжений в сечении корпуса от общего загружения необходимо начертить геометрические характеристики эквивалентного бруса.

Выполнение указанных характеристик для экипажевого сектора, показанного на рис. 6, произведено в табл. 2, из которой следует:

площадь поверхности сечения  $F_{el,El} = 2.397 \text{ см}^2$ ;  
стотолик линейной оси от оси вращения (составлен из-за)

$$\sigma_0 = \frac{\sum f z}{\sum f} = \frac{748}{397} = 1.88 \text{ м};$$

момент инерции относительно линейной оси

$$J_0 = 2 \left[ \sum f z^2 + \sum l \cdot z \sum f z \right] = 1560 \text{ см}^3 \cdot \text{м}^2;$$

момент сопротивления в плоскости симметрии эквивалентного бруса

$$W_B = \frac{\sigma_0}{E_e} = \frac{1560}{2.68} = 532 \text{ см}^3 \cdot \text{м};$$

момент сопротивления в вертикальной плоскости эквивалентного бруса

$$W_t = \frac{\sigma_0}{E_t} = \frac{1560}{2.68 - 2.65} = 670 \text{ см}^3 \cdot \text{м},$$

где  $E_t = 2.62 \text{ кН}$  — модуль на ДЛ.

Нормальные напряжения от общего загружения определяются формулами (3.1).

Расчетные изгибющие моменты в районе наклона при движении судна в водонемощном режиме равны [см. (4.1)]

$$M_p^{top} = -428 \text{ тс} \cdot \text{м}, \quad M_p^{bot} = 155 \text{ тс} \cdot \text{м}.$$

Следовательно, при прогибе

$$\sigma_y = -\frac{428 \cdot 10^3}{670} 0.95 = -290 \frac{\text{нм}}{\text{м}^2},$$

$$\sigma_x = \frac{428 \cdot 10^3}{670} 1.4 = 385 \frac{\text{нм}}{\text{м}^2};$$

при изгибе

$$\sigma_y = \frac{155 \cdot 10^3}{670} 0.95 = 200 \frac{\text{нм}}{\text{м}^2},$$

$$\sigma_x = \frac{155 \cdot 10^3}{670} 1.4 = 265 \frac{\text{нм}}{\text{м}^2}.$$

Расчетный изгибющий момент в районе наклона при ходе судна на крыльях (см. табл. 1)

$$M_p = -216 \text{ тс} \cdot \text{м},$$

так что нормальные напряжения при движении на крыльях равны

$$\sigma_y = -\frac{216 \cdot 10^3}{670} 0.95 = -275 \frac{\text{нм}}{\text{м}^2},$$

$$\sigma_x = \frac{216 \cdot 10^3}{670} 1.4 = 370 \frac{\text{нм}}{\text{м}^2}.$$

Таблица 8

N	Промежуточные часы	$\frac{f_1}{\text{час}^2}$	$\frac{f_2}{\text{час}^2}$	$\frac{f_3}{\text{час}^2}$	$\frac{f_4}{\text{час}^2}$	$f_5$	$f_6$	$f_7$	$f_8$	$f_9$	$f_{10}$	$f_{11}$	$f_{12}$	$f_{13}$	$f_{14}$	$f_{15}$
1	2	3	4	5	6	7	8	9	10	11	12	13	14	15		
1	1600	2,4	0,3	0,72	0,22	-	1,0	0,72	0,22	-	1,0	0,72	0,22			
2	4000	7,6	0,19	1,44	0,47	-	1,0	1,44	0,47	-	0,85	1,23	0,45			
3	374000000	6,45	0,8	1,29	0,26	-	1,0	1,29	0,26	-	1,0	1,29	0,26			
4	3740000000	6,45	0,44	2,84	1,26	-	1,0	2,84	1,26	-	1,0	2,84	1,26			
5	5600	3,0	0,87	2,0	1,34	-	1,0	2,0	1,34	-	1,0	2,0	1,34			
6	31145	4,35	0,6	2,61	1,56	-	1,0	2,61	1,56	-	1,0	2,61	1,56			
7	3740000000	6,45	0,69	4,45	3,07	-	1,0	4,45	3,07	-	1,0	4,45	3,07			
8	5600	3,0	1,07	3,21	3,44	-	1,0	3,21	3,44	-	1,0	3,21	3,44			
9	31145	4,35	1,0	4,35	4,35	-	1,0	4,35	4,35	-	1,0	4,35	4,35			
10	4740000000	8,6	0,96	8,25	7,9	-	1,0	8,25	7,9	-	1,0	8,25	7,9			
11	5600	34,5	0,06	0,87	0,05	-	1,0	0,07	0,05	-	1,0	0,07	0,05			
12	422440	97,6	0,62	60,5	37,5	0,45	1,0	60,5	37,5	0,45	1,0	54,8	34,0	7,65		

Промежуточные радиусы															
1	2	3	4	5	6	7	8	9	10	11	12	13	14	15	
13	3740000000	6,45	1,44	9,4	12,7	-	1,0	9,4	12,7	-	1,0	9,4	12,7		
14	48000	32,6	1,51	49,5	74,6	1,50	1,0	49,5	74,6	1,50	1,0	49,5	74,6	1,5	
15	1142400000	12,0	1,79	21,5	38,5	-	1,0	21,5	38,5	-	1,0	21,5	38,5		
16	260000	40,0	1,8	72,0	130,0	-	1,0	72,0	130,0	-	1,0	72,0	130,0		
17	243000003	3,4	2,31	7,85	18,1	-	1,0	7,85	18,1	-	1,0	7,85	18,1		
18	1100000000	5,96	2,46	14,6	36,0	-	1,0	14,6	36,0	-	1,0	14,6	36,0		
19	36000	20,1	2,22	44,6	90,0	0,70	1,0	44,6	90,0	0,7	1,0	44,6	90,0	0,7	
20	2110000000	11,92	3,42	40,8	139,0	-	1,0	40,8	139,0	-	1,0	40,8	139,0		
21	36000	19,5	3,5	68,3	239,0	-	1,0	68,3	239,0	-	1,0	68,3	239,0		
22	2,51350	33,7	4,01	135,0	540,0	-	0,75	102,0	409,0	-	1,0	135,0	540,0		
23	2,60000	25,0	4,21	105,0	440,0	-	0,75	79,3	334,0	-	1,0	105,0	440,0		
24	480000000	8,1	3,97	32,1	127,0	-	1,0	32,1	127,0	-	1,0	32,1	127,0		
25	1100000000	5,96	4,06	24,2	96,0	-	1,0	24,2	96,0	-	1,0	24,2	96,0		
26	3436000000	7,42	4,13	30,6	126	-	30,6	-	-	1,0	-	-	-	-	218
		Σ	397	748	2190		680	1983	742						

Для коробов судна, у которого изгибающая сила одна, изготовленных из сплава АМГ-61 и  $\sigma_y = 1900 \text{ кгс/см}^2$ , а также палубы из сплава  $\sigma_p = 1600 \text{ кгс/см}^2$ , допускаемые напряжения, равные соответственно  $[\sigma] = 0,45\sigma_p = 720 \text{ кгс/см}^2$ ;  $[\sigma] = 720 \text{ кгс/см}^2$ , оказываются выше действующих.

Касательные напряжения в произвольной точке по высоте отсека определяются формулой

$$\tau = \frac{\sigma_y S_y}{c_y^3},$$

- $\sigma_p$  - перерезывающие силы, действующие в рассматриваемом сечении;
- $S_y$  - статический момент плоскости сечения, расположенной по одну сторону от точки, где определяются касательные напряжения, относительно нейтральной оси этого сечения;
- $c_y$  - момент инерции плоскости поперечного сечения относительно нейтральной оси;
- $S$  - суммарная толщина бортов на уровне точки, где определяются касательные напряжения.

Возможно ли изгибающие перерезывающие силы действуют в 5-м и 15-м теоретических изгибающих при изгибе в водонепроницаемом режиме и в 5-м и 17-м изгибающих (см.табл.1) при зоде на краях, то изгибающие касательные напряжения должны быть определены в этих сечениях.

Вначале, например, касательные напряжения на нейтральной оси (изгибающие касательные напряжения) на 5-м теоретическом изгибающем.

Сечение по этому изгибающему показано на рис.7, а в табл.3 производим вычисление всех необходимых геометрических характеристик рассматриваемого сечения:

отстояние нейтральной оси от оси кромки

$$z_0 = \frac{\sum f z}{\sum f} = \frac{345}{290,6} = 1,18 \text{ м};$$

момент инерции плоскости сечения относительно нейтральной оси

$$S_y = c \left[ \sum f z^2 + \sum f \cdot z_0 \sum f z \right] = 203 \text{ см}^4 \cdot \text{м}^2;$$

статический момент плоскости, лежащей выше нейтральной оси, относительно нейтральной оси

$$S_y = 2 \sum f (z - z_0) = 2,74,4 = 248,8 \text{ см}^4 \cdot \text{м}^2;$$

суммарная толщина бортов на уровне нейтральной оси  $S = 1 \text{ м}$ .

Касательное напряжение при движении судна в водонепроницаемом режиме:

$$\tau = \frac{\sigma_y S_y}{c_y^3} = \frac{345 \cdot 144,8}{290,6^3} = 21,7 \frac{\text{м}}{\text{м}^3} = 217 \frac{\text{кг}}{\text{м}^2};$$

при переходе

$$\tau = \frac{217 \cdot 144,8}{290,6} = 148,2 \frac{\text{м}}{\text{м}^3}.$$

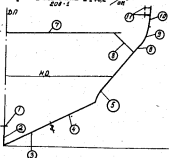


Рис.7. Сечение по 5-му теоретическому изгибающему

Tidsskrift 3

$\frac{S}{\text{см}^2}$	Применение	$f_{x_1} \cdot 2$ $\text{см}^{-2}$	$x_1$ $\text{м}$	$f_{x_2} \cdot$ $\text{см}^{-2} \cdot \text{м}$	$f_{x_2}^{(x)}$ $\text{см}^{-2} \cdot \text{м}$	$t_x$ $\text{см}^{-2} \cdot \text{м}$	$x_2 - x_1$	$f(x_2 - x_1)$
1 2	46x80	2,4	0,39	0,93	0,36	-	0,89	2,14
2 2	14x380	7,6	0,25	1,98	0,51	-	1,02	7,75
3	5x1000	50	0,37	18,5	6,85	-	0,31	45,50
4	5x540	32	0,78	24,9	19,4	-	0,50	16,0
5	5x200	10	0,98	9,8	9,6	-	0,30	3,0
6	5x1560	78	1,43	III,5	159	3	-	-
7	2x2150	43	1,80	77,5	139	-	-	-
8	3x310	9,3	1,67	15,5	25,8	-	-	-
9	5x200	10	1,90	19	36,1	-	-	-
10	5x500	25	2,24	56	125	-	-	-
II	2 40x300x12 22,5	4,2	2,36	9,9	23	-	-	-
	$\Sigma$	270,6		345	544			74,4

Тактические меры для борьбы с вредителями

$$T = \frac{367 - 245.8}{204.4} = 2.024 \text{ } \frac{\text{K}}{\text{mol}^2}$$

Это выражение оказывается между допустимых  $[t] = 0,27 \sigma_y = 0,27 \cdot 1600 = 435 \text{ кг}/\text{см}^2$ .

#### **4. Определение лимитирующей изыскки**

При начальном нормальном изгибе от общего взгляда на модель (в.3) предполагалось, что все схемы корпуса не теряют устойчивость. Достоверность этого предположения может быть установлена путем срывающих действующих напряжений с

#### REFERENCES AND NOTES

Важе приведены некоторые расчетные формулы, определяющие концентрации изотропных пластов.

Прямоугольных пластин, свободно сидящих по всем краям, ската разномерно распределенными по краям напряжениями в направлении длиной стороны

$$\epsilon_{cp} = 600 \left( \frac{2004}{\alpha} \right)^{\beta} \frac{E}{E_{cr}} .$$

Прямоугольные пластины, свободно свернуты по всем промежуткам, ската разномерно распределены по кромкам заграждения в направлении короткой стороны.

$$\sigma_{yy} = 200 \left( \frac{100 h}{a} \right)^2 \left[ 1 + \frac{a^2}{h^2} \right]^2 \frac{\pi}{\varepsilon_{yy}} ;$$

2019-04-20 10:00:00 - 2019-04-20 10:00:00

— 11 —

— ТОВАРИЩІ ГЛАСТЬ

$E_{27} = 2.15 \cdot 10^{11}$  кг/м<sup>2</sup> модуль нормальной упругости стали;  
 $E$  - модуль нормальной упругости материала пак-

Платина, свободно сидящая во трех промахах, а четвертая кромка, совершенно свободная, снята разномерно распределенными надрывами, подразумевая здесь сознание свободной воли:

$$\sigma_{\text{app}} = 200 \left( \frac{100 h}{a} \right)^2 \left[ 1 + 0.486 \frac{a^2}{h^2} - 0.165 \frac{a}{h(1 + \frac{a^2}{h^2})} \right] \frac{E}{E_0}$$

$$\text{and } \frac{a}{\sigma} \text{ and } \sigma_{n_0} = 69 \left( \frac{100k}{\sigma} \right)^{\frac{1}{2}} \frac{E}{E_{cr}}$$

Шестая, свободно скользя по четырем ароматам, запрокинувши, измельчилась во крошки во хлебному (рис.8):

$$\sigma_0 = \sigma_{\text{max}}(z - \beta \frac{z}{2}) ,$$

$$\sigma_{\text{eq}} = 200 \left( \frac{100 \text{ h}}{\text{f}} \right)^4 \pi \frac{\text{E}}{\text{f}}$$

Значения коэффициента  $k$  приведены в табл.4

Таблица 4

$\frac{E}{G}$	0,4	0,6	0,75	0,80	1,0	1,5
2/3	10,8	7,1	6,1	6,0	5,8	6,1
4/5	13,3	8,3	7,1	6,9	6,6	7,1
1,00	15,1	9,7	8,4	8,1	7,8	8,4
4/3	18,7	12,9	11,6	11,2	11,0	11,5
2,00	29,1	24,1	24,1	24,4	25,6	24,3

Берём из таблицы в качестве кратического напряжения обшивки листа, настала в продольных ребрах телевой палубы корпуса судна, надёжное сечение которого показано на рис.6.

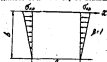


Рис.6. Пластина ската сжатием, скомпрессированная по линейному закону

Для обшивки листа, изготовленной из сплава АМГ-6Л ( $\theta_T = 1300 \text{ кгс/см}^2$ ,  $E = 0,7 \cdot 10^6 \text{ кгс/см}^2$ ), при изгибе поперечного набора  $E = 50 \text{ см}$  и расстояния между ребрами  $a = 20 \text{ см}$ , получим

$$\sigma_{np} = 800 \left( \frac{1004}{a} \right)^{\frac{1}{2}} \frac{E}{E_{cr}} = 800 \left( \frac{100 \cdot 0,4}{20} \right)^{\frac{1}{2}} \frac{4,7 \cdot 10^6}{0,7 \cdot 10^6} = 1060 \frac{\text{кгс}}{\text{см}^2}.$$

Кратическое напряжение листа телевой палубы (  $\theta_T = 1600 \text{ кгс/см}^2$ ,  $E = 0,7 \cdot 10^6 \text{ кгс/см}^2$  )

$$\sigma_{np} = 800 \left( \frac{1004}{a} \right)^{\frac{1}{2}} \frac{E}{E_{cr}} = 800 \left( \frac{100}{20} \right)^{\frac{1}{2}} \frac{4,7 \cdot 10^6}{0,7 \cdot 10^6} = 115 \frac{\text{кгс}}{\text{см}^2},$$

$$\text{так как } a = 20 \text{ см};$$

$$l = 100 \text{ см}; \\ A = 0,25 \text{ см}^2; \\ E = 0,7 \cdot 10^6 \text{ кгс/см}^2.$$

При вычислении момента инерции поперечного сечения продольного ребра в его плоскости, входящих в формулу, определяющую кратическое напряжение, необходимо учитывать площадь присоединенного полки обшивки. Имеется теоретическое решение, определяющее величину указанного момента.

На практике соответствующие требования Регистра СССР: при расчете на устойчивость широких присоединенных полок принимается равной:

при определении момента инерции - площадь широких между одновременно болтами,

при определении площади - ширину между одновременно болтами.

Для продольного ребра телевой палубы (рис.9) имеем:

- момент инерции ребра с присоединенными полками

$$I = 2,47 \text{ см}^4;$$

- площадь поперечного сечения с присоединенными полками

$$f = 6,35 \text{ см}^2;$$

- длина ребра

$$l = 100 \text{ см};$$

- кратическое напряжение

$$\sigma_{np} = \frac{\frac{E^2 E_i}{I^2 f}}{\frac{a^2 E_i}{l^2 f}} = \frac{a^2 E_i \cdot 2,47 \cdot 10^{-4} \cdot 2,47}{100^2 \cdot 6,35} = 620 \frac{\text{кгс}}{\text{см}^2}.$$

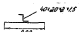


Рис.9. Сечение продольного ребра телевой палубы

§ 5. Проверка прочности корпуса по предельным загружением момента

При проверке прочности корпуса по загружению момента

вается такой изгибающий момент, при действии которого в наиболее удаленных от нейтральной оси поперечного сечениях симметрии корпуса возникают опасные напряжения.

По величине предельного изгибающего момента можно приблизенно судить о том, какие гравитационные перегрузки может выдержать корпус судна, т.е. установить, во сколько раз изгибающий момент, опасный для корпуса, превышает величину предельного расчетного изгибающего момента.

Для корпуса судна необходимо определить два предельных изгибающих момента: один для случая симметрии палубы; другой для случая растяжения палубы (сжатия палубы).

В случае симметрии палубы за опасные напряжения принимаются кратические напряжения ребер, находящиеся удаленных от нейтральной оси  $\sigma_c = \sigma_{cr}$ ; в случае растяжения палубы за опасные напряжения принимаются напряжения  $\sigma_c = -0,9\sigma_p$ . Предельный изгибающий момент, соответствующий случаю симметрии палубы, должен сравниваться с расчетами изгибающих моментов, вызываемых симметрии палубы, а в случае растяжения — с расчетными моментами, вызываемыми перегибом судна.

В соответствии с правилами определением предельного изгибающего момента его величина должна быть выражена по формуле

$$\sigma_{pred} = \sigma_c K_s,$$

где  $\sigma_c$  — опасные напряжения;

$K_s$  — коэффициент сопротивления поперечного сечения, исчисленный в предположении, что в краевых (зонах) элементистического бруса действуют напряжения, равные опасным.

Правила Регистра СССР требуют, чтобы  $\frac{\sigma_{pred}}{\sigma_p} = 0,5$ .

Если в составе корпуса судна имеются пластины, теряющие устойчивость при действии рассмотриваемого предельного изгибающего момента, то поперечные сечения этих пластин должны быть включены в состав элементистического бруса с редуцированным коэффициентом

$$K_s = \frac{1}{2} \left( 1 + \frac{\sigma_{pred}}{\sigma_c} \right),$$

т.е. предполагается, что для половины плана кромок пластин,

в которой приложены оксимажные напряжения, редуцированный коэффициент равен единице, а для остальной части равен  $\frac{1}{2}$ .

Редуцирование площадей поперечного сечения симметрии судна приводит к смещению нейтральной оси его поперечного сечения и соответственно к увеличению действующих напряжений в симметрии корпуса, следовательно — к уменьшению редуцированных коэффициентов этих симметрий.

Таким образом, задача определения величины момента, опоротвляемого при действии предельного изгибающего момента, может быть решена методом последовательных приближений.

Определение предельных изгибающих моментов для рассматриваемого судна.

Случай симметрии палубы (прогиб корпуса судна). Поскольку кратическое напряжение настила палубы равно  $\sigma_{cr} = 415 \text{ кг}/\text{cm}^2$  (см. п.4), а кратическое напряжение продольного ребра  $\sigma_c = \sigma_{cr} = 415 \text{ кг}/\text{cm}^2$ , то при действии предельного изгибающего момента эта палуба должна изогнуться с редуцированным коэффициентом

$$K_s = \frac{d}{E} \left( 1 + \frac{\sigma_{pred}}{\sigma_c} \right) = \frac{d}{E} \left( 1 + \frac{415}{415} \right) = 0,55.$$

В прил.8-III табл.2 приведено значение элементов эквивалентного бруса с учетом начального редуцированного коэффициента, на который следует:

$$P_Q = d \left[ \sum f - (f_{Q1} + f_{Q2})(1-\alpha) \right] = d [597 - (32,7 + 26,0)(1-0,5)] =$$

$$= 705 \text{ кн},$$

$$\frac{P_{Q2}}{P_Q} = \frac{2 \sum f_{Q2}}{P_Q} = \frac{2 \cdot 665}{705} = 1,88,$$

$$\frac{P_{Q1}}{P_Q} = \frac{2 \sum f_{Q1}}{P_Q} = \frac{2 \cdot 32,7}{705} = 0,91,$$

$$\frac{f_{Q1}}{f_{Q2}} = \frac{1330}{405-133} = 570 \text{ см}^2 \cdot \text{м}.$$

Образуем

$$\frac{P_Q}{P_Q} = 0,55 \cdot 1,88 = 0,55 \text{ кн} \cdot \text{м}.$$

При  $P_Q$  предположим имеется

$$\pi = \frac{M_{np}}{M_p} = \frac{460}{220} = 2.09 > 1.5.$$

Второе приближение практически не приводит к изменению  $M_{np}$ .

Случай растяжения теневой палубы (веретено корпуса судна). При напряжении в теневой палубе, равном:

$$\sigma_t = 490, \tau = 0.8 \cdot 1800 = 1620 \frac{\text{кгс}}{\text{см}^2},$$

в краевых элементах симметрии сжатия размы

$$\sigma_x = \frac{W_s}{W_y} \sigma_t = - \frac{670}{330} 1620 = - 2310 \frac{\text{кгс}}{\text{см}^2}.$$

Бесконечно малые напряжения сжатия в днищевых стойках превосходят практические напряжения корыtkой обшивки днища в стеках вертикального киля, равные соответственно 1060 и 960 кгс/см<sup>2</sup>, то эти симметрические вносят в состав эквивалентного бруса с редукционным коэффициентом:

плотины днищевой обшивки

$$q_{n,t} = \frac{f}{E} \left( 1 + \frac{1060}{1310} \right) = 0.905;$$

плотины вертикального киля

$$q_{n,p} = \frac{f}{E} \left( 1 - \frac{960}{1310} \right) = 0.85.$$

В табл. 12-15 табл. 2 учтены влияние редукционных коэффициентов этих плотин на элементы эквивалентного бруса.

На основании данных табл. 2 находим:

$$P_g = E \left[ \sum f - f_g (1 - q_{n,t}) - f_{sp} (1 - q_{n,p}) \right] = 774 \text{ кн}^2,$$

$$z_{sp} = \frac{2 \cdot 742}{774} = 1.92 \text{ м},$$

$$S_{sp} = E \left[ \sum f_{sp}^2 (1 - q_{n,t}) - f_g z_{sp}^2 \right] = 1520 \text{ см}^4 \cdot \text{м}^2,$$

$$W_p = \frac{S_{sp}}{z_{sp}} = \frac{1520}{1.92} = 790 \text{ см}^3 \cdot \text{м}.$$

Пределный изгибающий момент для рассматриваемого случая (веретено судна)

$$M_{np} = G_p W_p = 4680 \cdot 790 \cdot 10^{-6} = 3580 \text{ тс} \cdot \text{м}.$$

Отношение предельного изгибающего момента к наибольшему моменту при перегоне ( $M_p^{max} = 156 \text{ тс} \cdot \text{м}$ )

$$\pi = \frac{1560}{155} = 0.02 > 1.5.$$

Второе приближение практически не приводит к изменению предельного момента.

## Г л а з 2

### РАСЧЕТ МИСТНОЙ ПРОЧНОСТИ ВОРПУСА СИК

Опыт эксплуатации СИК показывает, что наибольшее члено изогнувший корпус связано с нарушением местной прочности днищевых конструкций вследствие действия гидродинамического давления, возникающего при ударах корпуса о жидкость при движении на изолированной поверхности.

Эти гидродинамические давления воспринимаются днищевой обшивкой, которая передает их на конструкцию элемента, подкрепляющую эту обшивку.

### § 6. Определение давлений, действующих на днищевые перегородки, борты и стойки подкрепляющих переборок

Полученные в § 2 основные зависимости, сопряженные условия взаимодействия корпуса СИК с жидкостью, позволяют выразить эти условия через соответствующие изгибающие моменты.

Действительно, испытаны полученные выше зависимости для коэффициентов перегрузок при прогоне  $\pi_2^{max} = 1.5 \cdot \frac{1}{3}$  в перегоне  $\pi_2^{max} = \frac{f}{E}$ , а также формулы (1.1) и (1.2) для изгибающих моментов, и получено получить выражения для усилий,

действующих на 3-м, 17-м теоретических шпангоутах при прогибе в на 10-м шпангоуте при перегибе.

На основании указанных зависимостей находят:

- усадку, действующую на 3-м и 17-м теоретических шпангоутах (перегиб):

$$\varepsilon_3 = \frac{4 \sigma_p^{per}}{A} ; \quad (6.1)$$

$$\varepsilon_{17} = \frac{4 \sigma_p^{per}}{A} ; \quad (6.2)$$

- усадку, действующую на 10-м теоретическом шпангоуте (перегиб):

$$\varepsilon_{10} = \frac{16 \sigma_p^{per}}{A} ; \quad (6.3)$$

Признается, что изгибающие гидравлические усилия равномерно распределены по площади перекретов, исходя из условия давления, действующего на соответствующие перекреты.

Приведем формулы в рекомендациях Регистра СССР, определяющие давление на давление перекретов СНК.

Для перекретов, ограниченных изогнутыми переборками и бортами, давление  $\rho_j$  должно начисляться по формулам:

на 3-м и 17-м теоретических шпангоутах

$$\rho_3 = \frac{\rho_3}{\sigma_p B_3} = \frac{4 \sigma_p^{per}}{L^2 B_3} ; \quad (6.4)$$

$$\rho_{17} = \frac{\rho_{17}}{\sigma_p B_{17}} = \frac{4 \sigma_p^{per}}{L^2 B_{17}} ; \quad (6.5)$$

на 10-м теоретическом шпангоуте

$$\rho_{10} = \frac{\rho_{10}}{\sigma_p B_{10}} = \frac{60 \sigma_p^{per}}{L^2 B_{10}} ; \quad (6.6)$$

где  $B_j$  - ширина коробов по судну в соответствующих сечениях [м],  $\sigma_p = Q_{24}$ .

Для промежуточных сечений по длине судна величины расчетных давлений прилагаются кусочно-линейными функциями, значение которых выше давлений (рис.10).

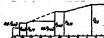


Рис.10. Эпюра распределения давлений

На участке редких от 10-го до 13-го теоретических шпангоутов давление принимается постоянным в рамках  $B_{10..13}$ .

Взаимодействие за редкими давление считается "равным"  $\rho_{10..13}$ .

На участке от 17-го до 20-го теоретических шпангоутов давление принимается постоянным в рамках  $\rho_{17..20}$ .

Расчетные давления на перекретах между изогнутыми переборками принимаются равномерно распределенными в рамках давления в среднем сечении по длине перекрета.

Для давлений перекретов, ограниченных изогнутыми переборками, бортом и палубой, давление  $\rho_j$  должно быть определено по формуле

$$\rho_j = E_0 \rho_{0j} ; \quad (6.7)$$

где  $\rho_{0j}$  - давление, определяемое формулами (6.4) - (6.6) ( $j = 3, 10, 17$ ).

Величина давлений  $\rho_k$  при расчете прочности плавучих конструкций обшивки, ребер жесткости и участков шпангоутов, ограниченных соседними стяжками, учитывая возможность плавления плавучих давлений, должна быть определена по формуле

$$\rho_k = \eta \rho_{0j} . \quad (6.8)$$

Эти давления считаются равномерно распределенными по площади плавучести вдоль ребер и шпангоутов.

Величина давлений при расчете прочности надувной обши-

из борта принимается равной

$$A_{p, k} = D + 2,5 - z_i, \quad (6.9)$$

где  $D$  — высота борта, м;

$z_i$  — ордината центра плавости над основной линией, м.

Величина давления на ребре кисти борта определяется так же формулой (6.9), в которой  $z_i$  — положение ребра кисти по высоте над основной линией.

Нагрузка, действующая на плавающие борты, считается распределенной по высоте по линейному закону при максимальном защелке давления на уровне скены, определяемом по формуле (6.9), в которой  $z_i$  — расстояние от основной линии до скены в рассматриваемом сечении в метрах. Расчет прочности стволов водонепроницаемых переборок производится на нагрузку, имеющуюся по высоте отвода также по линейному закону. При этом максимальные величины напора на уровне основной линии определяются формулой (6.9).

#### § 7. Расчетные давления на палубу

Нагрузка, действующая на палубы, считается равномерно распределенной по их площади.

По правилам Регистра СССР эта нагрузка определяется высотой стояби воды  $A_{p, k}$ , которая принимается равной

$$A_{p, k} = 0,5 \cdot \text{борт}$$

для участков палуб, на которых возможен скопление пассажиров или команда;

$$A_{p, k} = 0,35 \cdot \text{борт}$$

для палуб в районах расположений кресел для пассажиров;

$$A_{p, k} = 0,3 \cdot \text{борт}$$

для палуб в пределах салонов палубных кают-

$$A_{p, k} = 0,15 \cdot \text{борт}$$

для балкона палуб подстроек;

#### § 8. Расчетные зависимости

Правила в предыдущих параграфах нагрузки, действующие на перекрытия, салоны и палубы, позволяют начертить изображения в указанных сечениях.

Для определения изображений, возникающих в балках перекрытий при изгибе, могут быть использованы различные расчетные схемы.

В том случае, когда в перекрытии число балок главного изображения меньше четырех (меньше число узловых точек), для раскрытия статической неопределенности следует воспользоваться методом приведения прогибов балок обоих изображений. При этом в качестве линий известными являются схемы из вертикальных реакций взаимодействия, а моменты в узловых сечениях главного изображения

Пусть, например, необходимо определить изгибающие моменты в перекрытии силы в перекрытиях (рис. II), нагруженному равномерно распределенным давлением  $\beta_2$  (см. § 6).

Считая условие, что вся нагрузка воспроизводится схемами такого изображения, и приняв за известные моменты  $M_1$  и  $M_2$ , записем уравнения равновесия углов поворота узловых сечений балок I и II:

$$\frac{\partial a^2}{\partial E I} + \frac{M_1 a}{3 E I} + \frac{f_1}{a} = 0,$$

$$\frac{\partial a^3}{\partial E I} + \frac{M_2 a^2}{3 E I} + \frac{f_2}{a} = 0,$$

где  $a = f_1$ .

Таким образом получим равенства на  $\frac{\partial E I}{a}$ , в виде обозначения

$$\frac{\partial E I}{a^2} f_1 = F_1, \quad (8.1)$$

запишем

$$\left. \begin{aligned} 4 M_1 + a F_1 &= \frac{\partial a^2}{\partial E I}, \\ 4 M_2 + a F_2 &= \frac{\partial a^3}{\partial E I}. \end{aligned} \right\} \quad (8.2)$$

Равнодействующие силы такого изображения с перекрытием силами равны

$$\left. \begin{aligned} R_1 a + 2M_1 + qa^2, \\ R_2 a + 2M_2 + qa^2, \end{aligned} \right\} \quad (8.3)$$

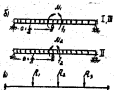
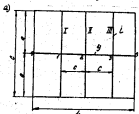


Рис. II. Схема рассчитываемого перекрестка и усилия на балках:

a - рассчитываемое перекрестие;  
b - усилия, действующие на балки I, II, III;  
c - усилия, действующие за перекрестие.

Рассматриваем участок перекрестка симметрии под действием реальных  $R_1 = R_2 = R$  (учтены симметрическую конструкцию),

значения статики прогиба узловых сечений  $f_1 = f_2$ :

$$\left. \begin{aligned} f_1 = \frac{L^3}{EJ} [R_1 \alpha_{11} + R_2 \alpha_{12} + R_3 \alpha_{13}], \\ f_2 = \frac{L^3}{EJ} [R_1 \alpha_{21} + R_2 \alpha_{22} + R_3 \alpha_{23}], \end{aligned} \right\} \quad (8.4)$$

где  $\alpha_{ij}$  - коэффициенты влияния, определяемые по таблицам когдa дают.

При этом из оснований теории о взаимности перемещений коэффициенты влияния удовлетворяют равенству  $\alpha_{12} = \alpha_{21}$ .

В рассматриваемом частном случае, помимо того, имеет место равенство  $\alpha_{22} = \alpha_{11}$ .

Подставляя в формулы (8.4) значения реальный из формулы (8.3) и вспомогательные обозначение (8.1), получим

$$f_1 = qz\left(\frac{L}{2}\right)^3 \frac{L}{2} [(2\alpha_{11} + qa^2)\alpha_2 + (2\alpha_{21} + qa^2)\beta], \quad (8.5)$$

$$f_2 = qz\left(\frac{L}{2}\right)^3 \frac{L}{2} [(2\alpha_{11} + qa^2)\alpha_1 + (2\alpha_{21} + qa^2)\alpha_2],$$

так

$$\alpha_1 = 80(\alpha_{11} + \alpha_{13}); \quad \beta = 80\alpha_{12};$$

$$\alpha_2 = 80\alpha_{22}.$$

Подстановка выражений (8.5) в уравнения (8.2) дает

$$4M_1(z + 8\alpha_1) + 4M_2\beta\beta = \frac{qa^2}{E} [z - 48(\alpha_2 + \beta)], \quad (8.6)$$

$$4M_1\beta\beta + 4M_2(z + 8\beta\alpha_2) = \frac{qa^2}{E} [z - 88(\alpha_2 + \beta)],$$

при вспомогательных обозначениях

$$\beta = qz\left(\frac{L}{2}\right)^3 \frac{L}{2},$$

Решим систему (8.6), задав:

$$\left. \begin{aligned} M_1 &= \frac{\gamma a^4}{\delta} \frac{65(\alpha_1 \alpha_2 - \beta^2) + 5(5\beta + 4\alpha_2 - 2\alpha_1) - z}{25(\alpha_1 \alpha_2 - \beta^2) + 5(6\alpha_2 + \alpha_1) + z}, \\ M_2 &= \frac{\gamma a^4}{\delta} \frac{65(\alpha_1 \alpha_2 - \beta^2) - 5(20\beta + 6\alpha_2 - \alpha_1) - z}{25(\alpha_1 \alpha_2 - \beta^2) + 5(6\alpha_2 + \alpha_1) + z} \end{aligned} \right\} \quad (8.7)$$

Равенства (8.7) совместно с выражениями (8.3) позволяют определить реакции взаимодействия балок обеих направлений и, следовательно, начинать определять усилия в изгибаемых элементах в этих балках.

Если в перекрытии число радиусогибающих осяминых балок главного направления больше четырех, то представляется возможным изменять реакции, действующие на перекрестные связи, распределенные нагрузкой, что существенно упрощает расчет.

При наличии одной перекрестной связи расчет перекрытия сводится к расчету балки (момент инерции площади сечения  $J$ ) на изгижение с сосредоточенными действиями:

$$\kappa = \frac{E I}{g a c^3}$$

в загруженной распределенной нагрузкой единице длины

$$\beta_0 = \frac{P a b}{J},$$

где  $\beta$  — коэффициент влияния на прогон балки главного направления в месте ее пересечения с перекрестной связью от действующей в этом сечении реальной;

$\beta$  — коэффициент влияния на прогон балки главного направления в месте ее пересечения с перекрестной связью от распределенной нагрузки;

$P_2$  — давление на перекрытие;

$\delta$  — длина балки главного направления;

$z$  — пламянка (расстояние между балками главного направления);

$\alpha$  — момент инерции площади сечения балок главного направления.

Задав перекрестные связи расположение посередине длины балок главного направления в талии или на сопряжении с однорядным коэффициентом скорости пары  $\gamma = 1$ , то при действии на перекрытие разомерно распределенной нагрузки  $P_2$  — реакция взаимодействия средней балки главного направления с перекрестной связью равна

$$R_2 = \frac{P_2 c^2 \beta}{g} [(1-\alpha) Q_1(u) + \alpha Q_2(u)], \quad (8.8)$$

где  $Q_1(u)$ ;  $Q_2(u)$

— табулированные функции аргумента

$$u = \frac{h}{c} \sqrt{\frac{I}{64 g} \frac{1-\beta}{\beta} \frac{c}{a}},$$

Изгибаний момент посередине средней балки главного направления равен:

если балки главного направления свободно сидят на сопряжениях, то

$$m_0 = \frac{P_2 c^2 \beta^2}{32} \left\{ 4 - 5[(1-\alpha) Q_1(u) + \alpha Q_2(u)] \right\}, \quad (8.9)$$

если балки главного направления жестко заданы на сопряжениях, то

$$m_0 = -\frac{P_2 c^2 \beta^2}{24} \left\{ 2 - 5[(1-\alpha) Q_1(u) + \alpha Q_2(u)] \right\}. \quad (8.10)$$

Расчет перекрытий, состоящих из большого числа балок главного направления в нескольких перекрестных связях, может быть произведен по методу линийных изгибов или методу А.А.Кур-

При определении напряжений в продольных ребрах днища к двери их можно рассматривать как изолированные балки, нести заданные на консолях в загруженном состоянии  $P$ , с изгибающим моментом в соответствии с § 6, 7.

Нормальные напряжения определяются формулой

$$\sigma = \frac{P_a e^2}{z \cdot W}, \quad (6.11)$$

где  $a$  — расстояние между продольными ребрами;  
 $e$  — длина ребра (израс);

$W$  — минимальный момент сопротивления плюсина сечения,

Продольные ребра консолях палубы должны быть рассчитаны как балки, свободно опорные на окончии.

$$\sigma = \frac{P_a e^2}{z \cdot W}. \quad (6.12)$$

Расчетные формулы, приведенные выше, содержат геометрические характеристики плюсин изогнутого сечения ( $D$ ,  $i$ ,  $W$ ). Эти характеристики должны вычисляться с учетом производимого плюсина сокращения. В соответствии с требованиями Регистра СССР, производимый плюсик принимается равным расстоянию между одновременными балками, но не больше 1/6 расчетного пролета балки.

Расчет плюсиков изогнутой осицки, пластины палуб, а также обшивки переборок должна производиться в предположении чистоты заделки их кромок за окончие палубы.

Если отклонение стерек плюсиков больше 2,5, то она может считаться гипсовой по планиграфической поверхности. Если при этом отклонение меньшее стерек плюсиков и ее толщина меньше или равно 60, то плюсика является чисткой. Для ука-

\*) См., например: Короткии Н.И., Бокин А.З., Савер Н.Н. Метод и устойчивость стереков в стержневых системах. Л., Машгиз, 1959.

$$\sigma = \frac{P}{E} \left( \frac{a}{3} \right)^2,$$

где  $P$  — давление, определяемое в соответствии с § 6;  
 $a$  — толщина плюсика;  
 $E$  — пролет балки палубы.

Таблица 5

№ п.п.	Наименование рассчитываемой конструкции и характеристики расчетных напряжений	Расчетная нагрузка	Допустимые напряжения в зонах от опасности
1	Наружные обшивки палуб. Нормальные напряжения в сечениях плюсиков	Гидравлический пресс давления при ударе корпуса о волну	1,00
2	Продольные ребра жесткости в участках изогнутых. Нормальные напряжения	То же	0,80
3	Боковые перекрытия (вертикальный палуб, отвагеры). Нормальные напряжения	т. н.	0,80
4	Обшивка борта. Нормальные напряжения в сечениях плюсиков	Нагрузка, равномерно распределенная вдоль стойки палуб до уровня кильватерного профиля или до линии киль-нейтрали противоположной палубы	1,00
5	Бортовой набор. Нормальные напряжения	Равномерно распределенная нагрузка на горизонтальных сливах, на вертикальных обшивках вдоль палубы	0,80
6	Настык в набор плюсиков палубы в залубе индюстрий. Нормальные напряжения в наборе в пролетных сечениях плюсиков	Равномерно распределенная нагрузка от симметрических плюсиков в наборе	0,80
7	Водонепроницаемые переборки. Нормальные напряжения в наборе в пролетных сечениях плюсиков	Нагрузка та же, что в п.п. 4 и 5	0,80

В том случае, когда откосыки нижней стороны пластины в тоннеле превосходят указанную величину, то при ее настое длины учитывается схема запирания.<sup>2)</sup>

Значения допускаемых напряжений при расчетах местной прочности коробки должны приниматься в соответствии с табл. 5.

### Г л а з а 3

#### РАСЧЕТ ПРОЧНОСТИ КРЫШИХ УСТРОЙСТВ

Крышные устройства (КУ) современных СЭК могут рассматриваться как плоские рамки конструкции. Работа этих рамок конструкций производится на усилия, возникающие при ходе корабля на крыльях в условиях такой зоны, при следующих режимах движения:

- прием хода без крена,
- переходы с креном,
- при ходе приемом курсом на волнении (без крена).

При проведении усилий на КУ предполагается возможным пренебречь продольными усилиями, действующими в плоскости наибольшей заостренности стеки и листовых панелей, так как эти усилия (сами соотношения) в 12-15 раз меньше подъемной силы.

#### § 9. Определение усилий, действующих на элементы КУ при приеме хода

Вылички расчетных усилий, действующих на основное и корневое КУ при ходе на такой зоне были определены в § 2:

$$P_{K, \text{ср}} = \frac{d}{\frac{C_K - C_{K, \text{ср}}}{C_{K, \text{ср}} - C_K}} \cdot \quad (9.1)$$

$$P_{K, \text{ср}} = d - P_{K, \text{ср}}. \quad (9.2)$$

<sup>2)</sup> См., например: Коротких Е.М., Логинов А.С., Саверко Н.Н. Устройство и устойчивость пластины в круговых гидродинамических сооружениях. Л.: Судостроение, 1965.

Эти усилия воспринимаются элементами КУ.

В соответствии с Базисным Регистром ССР, загружка, действующая на каждый элемент КУ, может быть определена по формуле

$$P_{K_i, \text{ср}} = \frac{P_{K, \text{ср}} \cdot \alpha_{\text{ср}}}{S_{\text{ср}, i}}, \quad (9.3)$$

где  $P_{K, \text{ср}} \cdot \alpha_{\text{ср}}$

- расчетное усилие, действующее на основное (корневое) КУ [формулы (9.1), (9.2)];

$P_{K_i, \text{ср}}$

- расчетное усилие, действующее на  $i$ -й элемент корневого (корневого) КУ;

$S_{\text{ср}, i}$

- горизонтальная проекция площади погруженной части КУ;

$S_i$

- горизонтальная проекция площади погруженной части  $i$ -го элемента крыльев.

Усилия, определяемые формулой (9.3), считаются распределенными по размеру  $i$ -го элемента. Интенсивность этих усилий может быть вычислена по формуле

$$\sigma_i = \frac{P_{K_i, \text{ср}} \cdot \delta_i}{\delta_i \cdot \delta_{\text{ср}}}, \quad (9.4)$$

где  $\delta_i$  - размах  $i$ -го элемента крыльев;

$\delta_{\text{ср}}$  - текущее значение размера хорды;

$\delta_{\text{ср}, i}$  - среднее значение хорды  $i$ -го элемента крыльев.

Для воспроизведения (стартовых) элементов КУ (табл. 12), обеспечивающих выход судна на крылья, величина действующих усилий может быть определена по формуле

$$P_{\text{старт}} = C_{\text{старт}} \left( 1 - \frac{\delta_i}{\delta} \right) \frac{\rho v_{\text{старт}}^2}{2} S_i, \quad (9.5)$$

где  $C_{\text{старт}}$

- коэффициент подъемной силы, определяемый по табл. 6 в зависимости от относительной толщины профиля  $\frac{t}{\delta}$  (см. рис. 12);

$v_{\text{старт}}$

- скорость выхода на крыло;

- плотность воды;

- погруженная площадь восприниматель-

ного элемента.

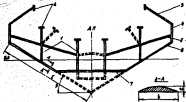


Рис. 12. Примерная схема крыльевого устройства

Таблица 6

$\frac{f}{l}$	0,03	0,04	0,05	0,06	0,07	0,08	0,09	0,10	0,11
$C_{\text{норм}}$	0,86	0,89	0,91	0,94	0,96	0,98	0,99	1,01	1,02

Нормальность нагрузки, соответствующая условиям (9.5), рисунка

$$\rho_{\text{норм}} = \frac{\rho_{\text{норм}}}{\rho} = \frac{P_{\text{норм}}}{P}, \quad (9.6)$$

где  $P$  - расчетные загружательные (стартовые) элементы.

Расчетные усилия, действующие на КУ при ходе вправо курсом на море или без дрейфа, как было показано в § 2, определяются формулами

$$P_x = n_x P_{x,\text{нр}}, \quad P_y = n_y P_{y,\text{нр}},$$

где  $P_{x,\text{нр}} + P_{y,\text{нр}}$  - подъемные силы на подводных крыльях при ходе на такой волне [см. (9.1), (9.2)];

$n_x$  - коэффициент перегрузки [см. (2.5)].

Распределение этих усилий по элементам КУ должно производиться в соответствии с формулами (9.3) и (9.4) при полной загрузке основных массовых элементов.

#### § III. Определение усилий на КУ при паркулации

При движении судна за паркулацию КУ следует считать загруженным:

1) нагружкой, разной распределенной подъемных сил, возникающих на крыльях [распределяется формулами (9.3), (9.4)];

2) равномерно распределенной нагружкой, действующей на стойки, при паркулации судна. Суммарные величины этой нагрузки для стояк косового края определяются формулой

$$\frac{P_{x,y}}{A_{x,y}} = \frac{P_x a_x - P_y a_y}{a_x + a_y}, \quad (10.1)$$

и для стояк кормового крыла - формулой

$$P_{x,y} = P_x - P_{x,y} - P_y,$$

$$\text{где } P_x = \frac{4}{J} \frac{D_x^2}{G} \cos \varphi + D \sin \varphi$$

- суммарные силы, действующие на стояк косового и кормового КУ, при движении судна за паркулацию;

$a_x, a_y$  - стояжные косового и кормового крыльев соответственно от центра тяжести судна;

$a_p$  - стояжные центры тяжести погруженной массы паруса от центра тяжести судна;

$P_x = 0,07 G, P_y =$  сила, действующая на судно при движении за паркулацию;

$D_x = 0,67 J, \varphi$  - скорость судна за паркулацией;

$P_y =$  скорость судна на таком волне;

$G = 10^4$  - масса погруженной части паруса;

$J$  - длина судна (гипотензия);

$\varphi = 5^\circ \dots 5^\circ$  - угол крена за паркулацией.

Tadpoles. 7

48 Точки  $P_{x,y}$  и  $P_{x,z}$  должны быть распределены между стойками в вертикальной проекции наименьших элементов высотного и широтного ЮГ проориентированы их соответствующими сторонами.

#### **5.11. Проверка достоверности компьютерных устройств**

Соревнования включаются моментом в перерыве между сал-и в рамках построения ИИ, включая погрузку, выполненную в соответствии с изложенным в § 10, может быть произведен так же момент сал-и, как и методом застопорения по известным схемам.

По наименованию наибольшим зеркальным изгибом всех моментов должны быть выражены нормальные напряжения в элементах 10

$$\theta = \frac{\theta_{\text{eq}}}{\mu^2}, \quad (\text{III.1})$$

так  $\Delta_{\text{сп}} = \text{расчетное значение электромагнитного момента} - \text{расчеточная величина} \cdot 10^{-3}$

— ИЗВЕЩЕНИЕ МОМЕНТ СОСТОЯНИЯ ПЛОЩАДЬ 90-

Эти нормативные запросы не должны производить вспышек излишней активности, направленной вправо.

Для таких элементов Ю должна быть проверена устойчивость вершин в концах листов основки по нормальным напряжениям при изгибе.

Знак устойчивости должен быть полуторарегистрированный (см. табл.7). Стойки как фасового, так и нормового Ю-расчленяются на устойчивость под действием симметричных усилий, которые являются результатом из стойки от нагрузок, действующих на Ю при ходе судна на волнении. Знаки устойчивости должны быть во всем архитектурного.

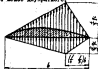


Рис. 33. Распределение залежей в Тюменской области

Назначение расчетной конструкции и характеристики расчетных напряжений	Расчетная нагрузка	Задувка в зонах действия отложений	Признаки
Весущие элементы крыши, стойки, опоры лестничного маршевого блока. Воротильные элементы.	Нагрузка в узловых зонах: а) симметричные отложения ли распределение нагрузки; б) нагрузка при консольном в узловых точ- ках зон	0,65 — 0,65	Для стоеч зонок быть обеспечены нульватом по нормальным нап- ряжениям
Всемостатель- ные элементы	Нагрузка при выходе из указанных зонок	0,90	—
Обшивка в из- бор новых эле- ментов	Гидравличес- кое давление отложений крыши	0,50	Для обшивки по- довых элементов нужна быть обеспечена ю- стойчивость по нормальным нап- ряжениям с по- мощью распредели- телем

## О ГЛАВЫ И ИХ

<b>Введение.</b>	<b>3</b>
Глаза I. Расчет общей прочности.....	4
§ 1. Определение расчетных загубленых моментов и переравнивающих сил при движении СИК в водонепроницаемом режиме.....	4
§ 2. Определение перегрузок, загубленых моментов и переравнивающих сил в режиме движения судна на крыльях..	9
§ 3. Проверка общей продольной прочности.....	13
§ 4. Пример расчета общей прочности.....	15
§ 5. Проверка прочности корпуса по предельным загубленым моментам.....	29
Глаза II. Расчет местной прочности корпуса СИК.....	33
§ 6. Определение давлений, действующих на давящие палубы, борта и стойки водонепроницаемых переборок.	33
§ 7. Расчетные давления на палубы.....	36
§ 8. Расчетные зависимости.....	37
Глаза III. Расчет прочности крыльевых устройств.....	44
§ 9. Определение усилий, действующих за элементы КУ при прямом подъезде.....	44
§ 10. Определение усилий за КУ при изогнутости.....	47
§ 11. Проверка прочности крыльевых устройств.....	48